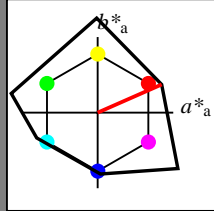


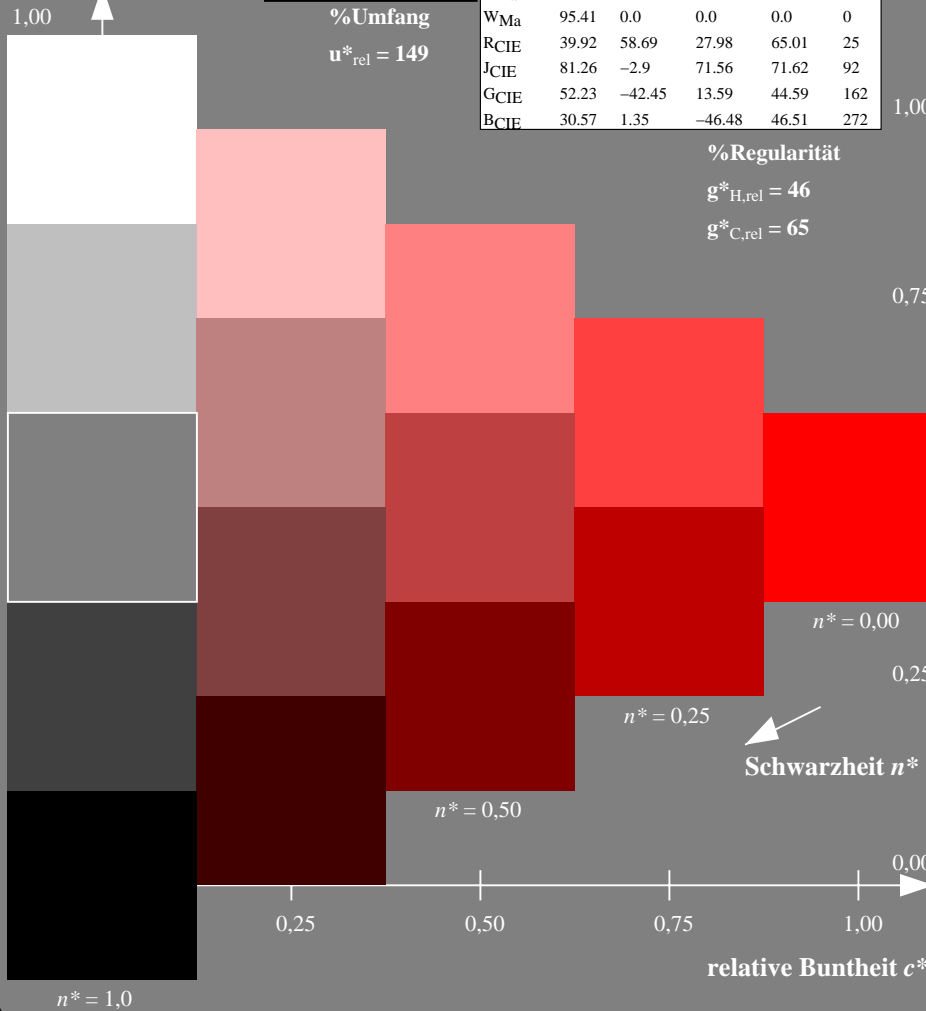
Eingabe: Farbmatisches Reflexions-System NCS11  
 für Buntton  $h^* = lab^*h = 24/360 = 0.066$   
 $lab^*tch$  und  $lab^*nch$

D65: Buntton R  
 LCH\*Ma: 47 92 24  
 rgb\*Ma: 1.0 0.0 0.0  
 Dreiecks-Helligkeit



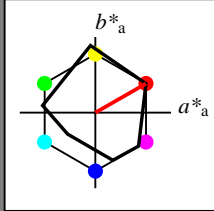
**NCS11; adaptierte CIELAB-Daten**

	$L^*=L^*_a$	$a^*_a$	$b^*_a$	$C^*_{ab,a}$	$h^*_{ab,a}$
RMa	47.15	84.64	37.25	92.48	24
JMa	91.37	-1.27	125.03	125.03	91
GMa	63.07	-114.28	25.35	117.06	167
G50B <sub>Ma</sub>	59.47	-80.6	-33.45	87.28	203
B <sub>Ma</sub>	49.01	3.65	-81.19	81.28	273
B50R <sub>Ma</sub>	44.06	106.09	-73.93	129.32	325
N <sub>Ma</sub>	10.99	0.0	0.0	0.0	0
W <sub>Ma</sub>	95.41	0.0	0.0	0.0	0
RCIE	39.92	58.69	27.98	65.01	25
JCIE	81.26	-2.9	71.56	71.62	92
GCIE	52.23	-42.45	13.59	44.59	162
BCIE	30.57	1.35	-46.48	46.51	272



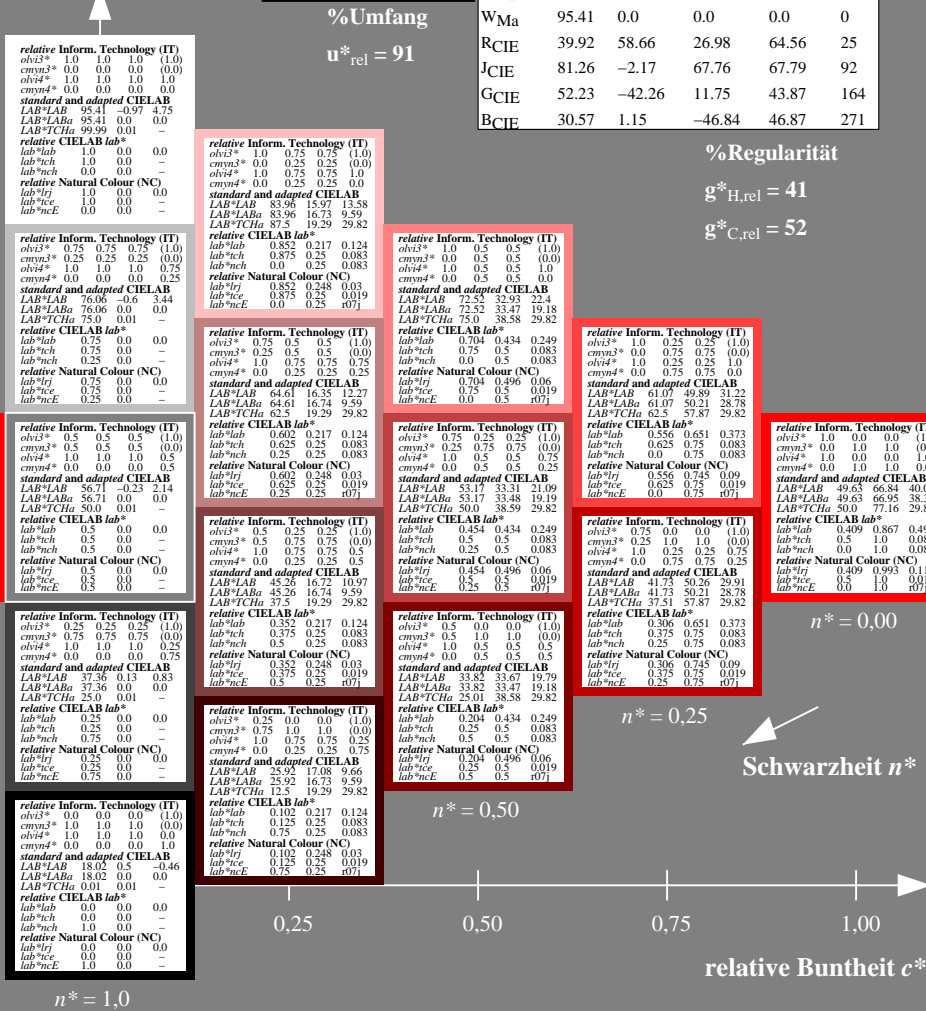
Ausgabe: Farbmatisches Reflexions-System MRS18  
 für Buntton  $h^* = lab^*h = 30/360 = 0.083$   
 $lab^*tch$  und  $lab^*nch$

D65: Buntton R  
 LCH\*Ma: 50 77 30  
 rgb\*Ma: 1.0 0.0 0.0  
 Dreiecks-Helligkeit



**MRS18; adaptierte CIELAB-Daten**

	$L^*=L^*_a$	$a^*_a$	$b^*_a$	$C^*_{ab,a}$	$h^*_{ab,a}$
RMa	49.63	66.96	38.37	77.18	30
JMa	90.7	-6.36	88.75	88.98	94
GMa	52.11	-69.73	9.44	70.37	172
G50B <sub>Ma</sub>	45.03	-36.57	-28.47	46.36	218
B <sub>Ma</sub>	36.65	23.19	-63.05	67.18	290
B50R <sub>Ma</sub>	34.94	57.17	-44.26	72.31	322
N <sub>Ma</sub>	18.01	0.0	0.0	0.0	0
W <sub>Ma</sub>	95.41	0.0	0.0	0.0	0
RCIE	39.92	58.66	26.98	64.56	25
JCIE	81.26	-2.17	67.76	67.79	92
GCIE	52.23	-42.26	11.75	43.87	164
BCIE	30.57	1.15	-46.84	46.87	271



TG480-7, 5 stufige Reihen für konstanten CIELAB Buntton 24/360 = 0.066 (links)

5 stufige Reihen für konstanten CIELAB Buntton 30/360 = 0.083 (rechts)

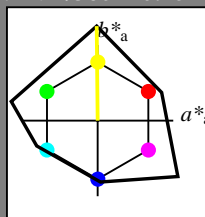
BAM-Prüfvorlage TG48; Farbmatrik-Systeme NCS11a & MRS18  
 D65: 5stufige Farbreihen und Koordinaten-Daten für 10 Bunttöne  
 output: no change compared to input

Eingabe: Farbmatisches Reflexions-System NCS11

für Bunnton  $h^* = lab^*h = 91/360 = 0.252$   
 $lab^*tch$  und  $lab^*nch$

D65: Bunnton J  
 LCH\*Ma: 91 125 91  
 rgb\*Ma: 1.0 1.0 0.0

Dreiecks-Helligkeit



**NCS11; adaptierte CIELAB-Daten**

	$L^* = L^*_a$	$a^*_a$	$b^*_a$	$C^*_{ab,a}$	$h^*_{ab,a}$
RMa	47.15	84.64	37.25	92.48	24
JMa	91.37	-1.27	125.03	125.03	91
GMa	63.07	-114.28	25.35	117.06	167
G50B <sub>Ma</sub>	59.47	-80.6	-33.45	87.28	203
B <sub>Ma</sub>	49.01	3.65	-81.19	81.28	273
B50R <sub>Ma</sub>	44.06	106.09	-73.93	129.32	325
N <sub>Ma</sub>	10.99	0.0	0.0	0.0	0
W <sub>Ma</sub>	95.41	0.0	0.0	0.0	0
RCIE	39.92	58.69	27.98	65.01	25
JCIE	81.26	-2.9	71.56	71.62	92
GCIE	52.23	-42.45	13.59	44.59	162
BCIE	30.57	1.35	-46.48	46.51	272

%Regularität

$g^*_{H,rel} = 46$

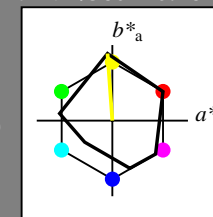
$g^*_{C,rel} = 65$

Ausgabe: Farbmatisches Reflexions-System MRS18

für Bunnton  $h^* = lab^*h = 94/360 = 0.261$   
 $lab^*tch$  und  $lab^*nch$

D65: Bunnton J  
 LCH\*Ma: 91 89 94  
 rgb\*Ma: 1.0 1.0 0.0

Dreiecks-Helligkeit



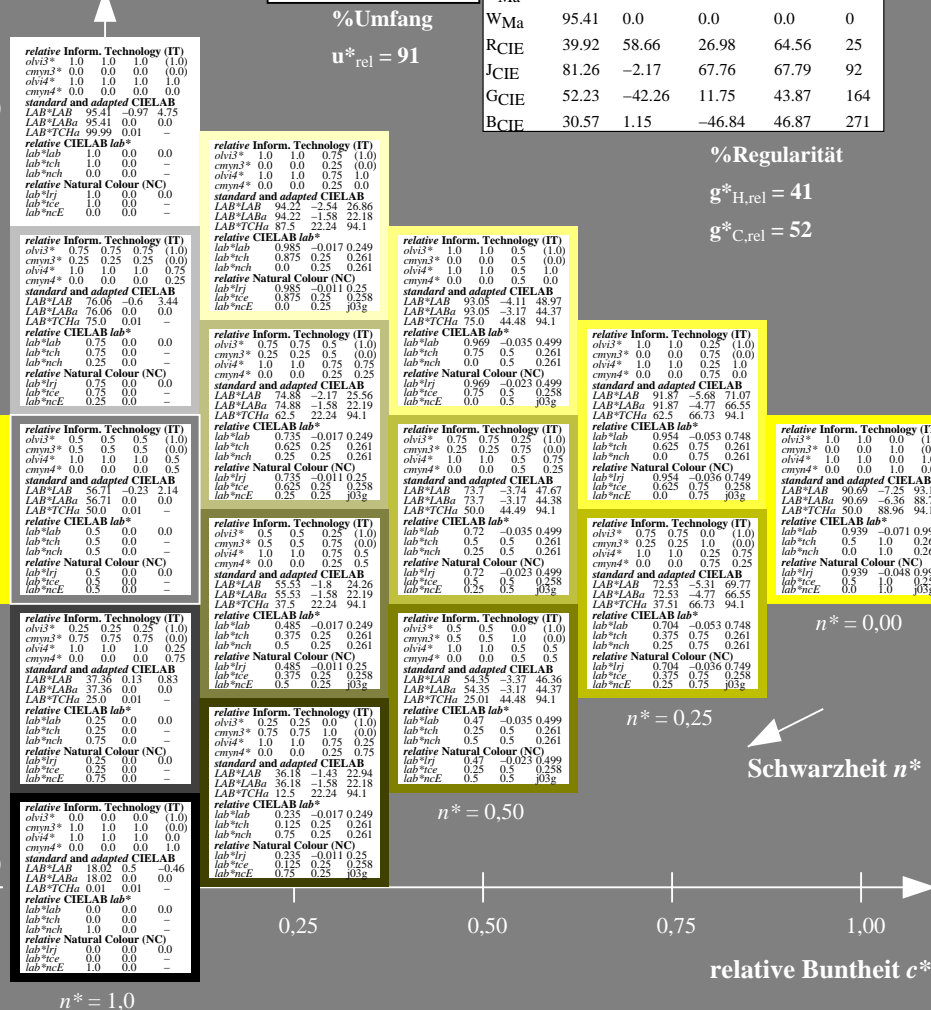
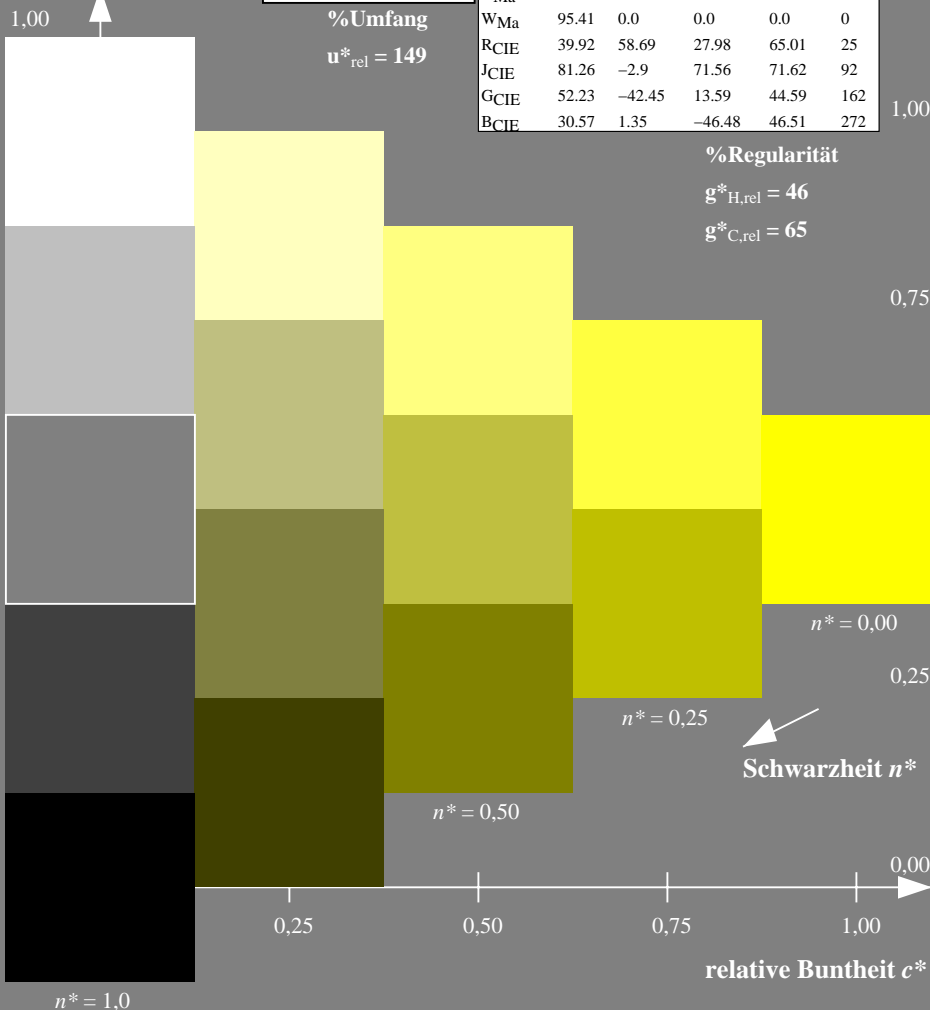
**MRS18; adaptierte CIELAB-Daten**

	$L^* = L^*_a$	$a^*_a$	$b^*_a$	$C^*_{ab,a}$	$h^*_{ab,a}$
RMa	49.63	66.96	38.37	77.18	30
JMa	90.7	-6.36	88.75	88.98	94
GMa	52.11	-69.73	9.44	70.37	172
G50B <sub>Ma</sub>	45.03	-36.57	-28.47	46.36	218
B <sub>Ma</sub>	36.65	23.19	-63.05	67.18	290
B50R <sub>Ma</sub>	34.94	57.17	-44.26	72.31	322
N <sub>Ma</sub>	18.01	0.0	0.0	0.0	0
W <sub>Ma</sub>	95.41	0.0	0.0	0.0	0
RCIE	39.92	58.66	26.98	64.56	25
JCIE	81.26	-2.17	67.76	67.79	92
GCIE	52.23	-42.26	11.75	43.87	164
BCIE	30.57	1.15	-46.84	46.87	271

%Regularität

$g^*_{H,rel} = 41$

$g^*_{C,rel} = 52$



TG480-7, 5 stufige Reihen für konstanten CIELAB Bunnton 91/360 = 0.252 (links)

5 stufige Reihen für konstanten CIELAB Bunnton 94/360 = 0.261 (rechts)

BAM-Prüfvorlage TG48; Farbmatrik-Systeme NCS11a & MRS18; Input:  $olv^* setrgbcolor$

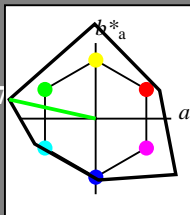
D65: 5stufige Farbreihen und Koordinaten-Daten für 10 Bunttöne; Output: *no change compared to input*

Eingabe: Farbmetrisches Reflexions-System NCS11

für Buntton  $h^* = lab^*h = 167/360 = 0.465$   
 $lab^*tch$  und  $lab^*nch$

D65: Buntton G  
 LCH\*Ma: 63 117 167  
 rgb\*Ma: 0.0 1.0 0.0

Dreiecks-Helligkeit



%Umfang

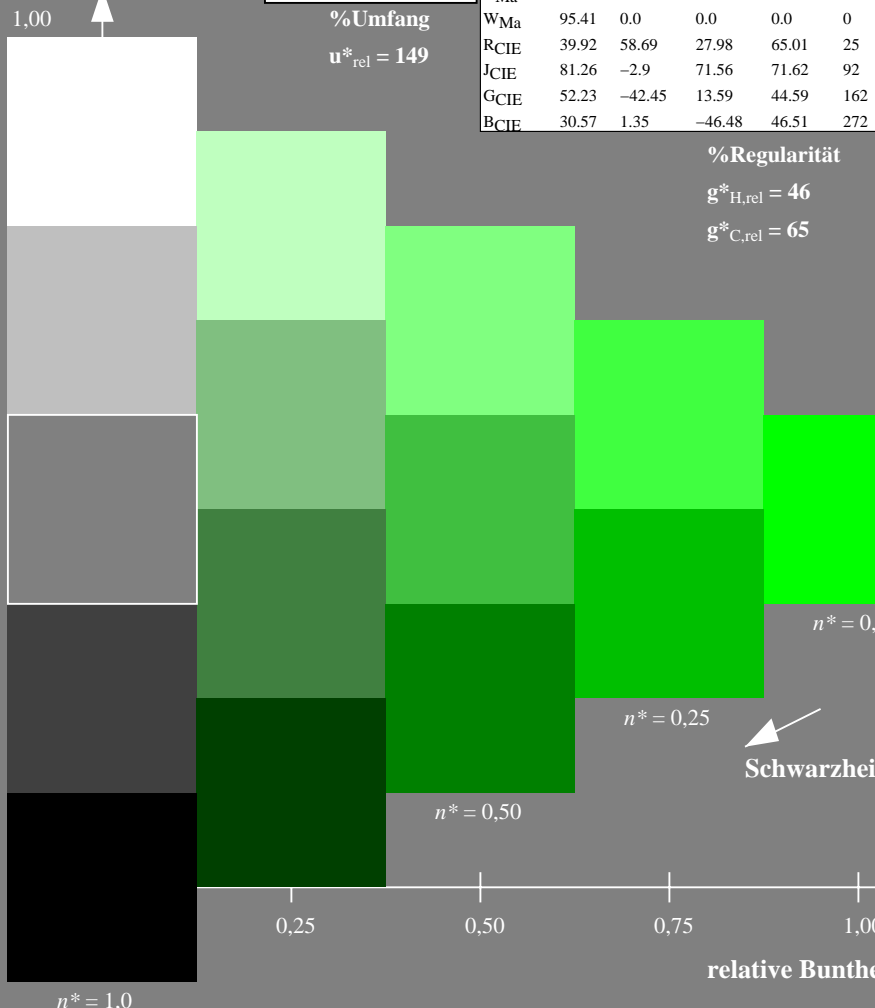
$u^*_{rel} = 149$

NCS11; adaptierte CIELAB-Daten					
	$L^*=L^*_a$	$a^*_a$	$b^*_a$	$C^*_{ab,a}$	$h^*_{ab,a}$
RMa	47.15	84.64	37.25	92.48	24
JMa	91.37	-1.27	125.03	125.03	91
GMa	63.07	-114.28	25.35	117.06	167
G50B <sub>Ma</sub>	59.47	-80.6	-33.45	87.28	203
B <sub>Ma</sub>	49.01	3.65	-81.19	81.28	273
B50R <sub>Ma</sub>	44.06	106.09	-73.93	129.32	325
N <sub>Ma</sub>	10.99	0.0	0.0	0.0	0
W <sub>Ma</sub>	95.41	0.0	0.0	0.0	0
RCIE	39.92	58.69	27.98	65.01	25
JCIE	81.26	-2.9	71.56	71.62	92
GCIE	52.23	-42.45	13.59	44.59	162
BCIE	30.57	1.35	-46.48	46.51	272

%Regularität

$g^*_{H,rel} = 46$

$g^*_{C,rel} = 65$

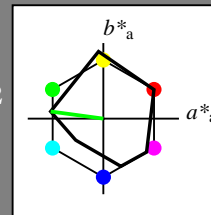


Ausgabe: Farbmetrisches Reflexions-System MRS18

für Buntton  $h^* = lab^*h = 172/360 = 0.479$   
 $lab^*tch$  und  $lab^*nch$

D65: Buntton G  
 LCH\*Ma: 52 70 172  
 rgb\*Ma: 0.0 1.0 0.0

Dreiecks-Helligkeit



%Umfang

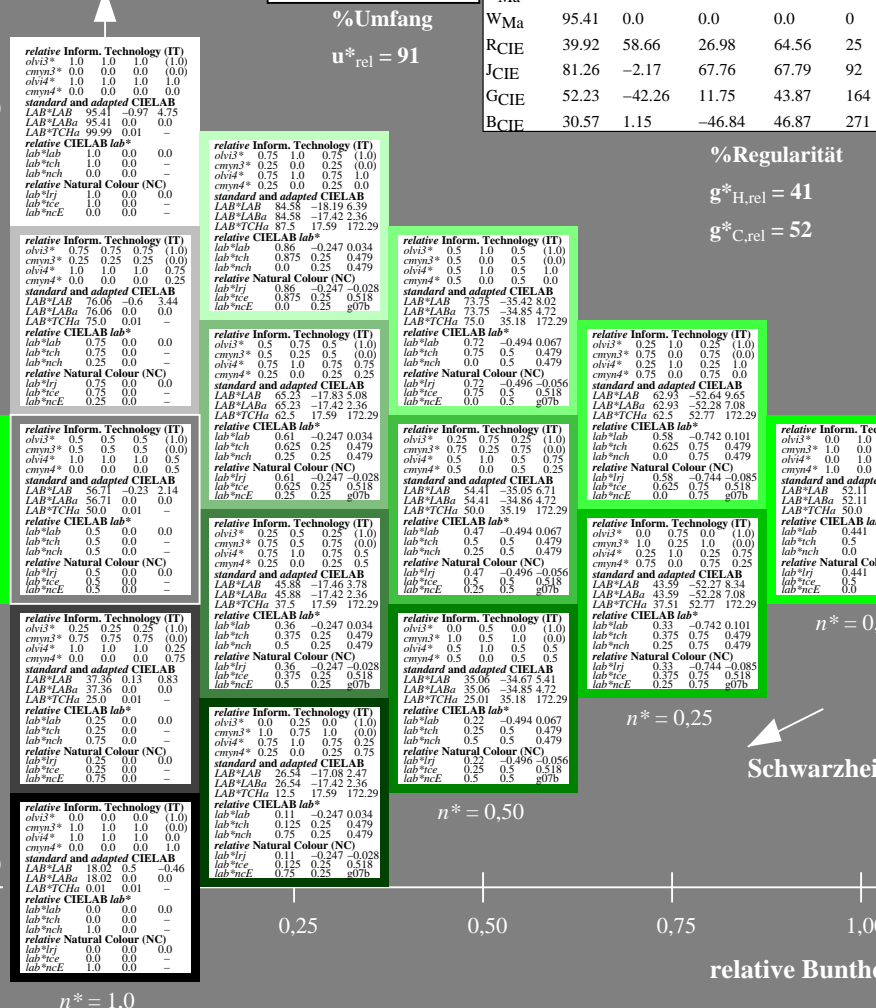
$u^*_{rel} = 91$

MRS18; adaptierte CIELAB-Daten					
	$L^*=L^*_a$	$a^*_a$	$b^*_a$	$C^*_{ab,a}$	$h^*_{ab,a}$
RMa	49.63	66.96	38.37	77.18	30
JMa	90.7	-6.36	88.75	88.98	94
GMa	52.11	-69.73	9.44	70.37	172
G50B <sub>Ma</sub>	45.03	-36.57	-28.47	46.36	218
B <sub>Ma</sub>	36.65	23.19	-63.05	67.18	290
B50R <sub>Ma</sub>	34.94	57.17	-44.26	72.31	322
N <sub>Ma</sub>	18.01	0.0	0.0	0.0	0
W <sub>Ma</sub>	95.41	0.0	0.0	0.0	0
RCIE	39.92	58.66	26.98	64.56	25
JCIE	81.26	-2.17	67.76	67.79	92
GCIE	52.23	-42.26	11.75	43.87	164
BCIE	30.57	1.15	-46.84	46.87	271

%Regularität

$g^*_{H,rel} = 41$

$g^*_{C,rel} = 52$



TG480-7, 5stufige Reihen für konstanten CIELAB Buntton 167/360 = 0.465 (links)

5 stufige Reihen für konstanten CIELAB Buntton 172/360 = 0.479 (rechts)

BAM-Prüfvorlage TG48; Farbmetrik-Systeme NCS11a & MRS18input:  $olv^*setrgbcolor$

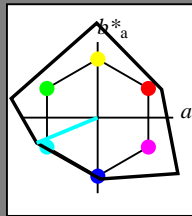
D65: 5stufige Farbreihen und Koordinaten-Daten für 10 Bunttöneoutput: *no change compared to input*

Eingabe: Farbmetrisches Reflexions-System NCS11

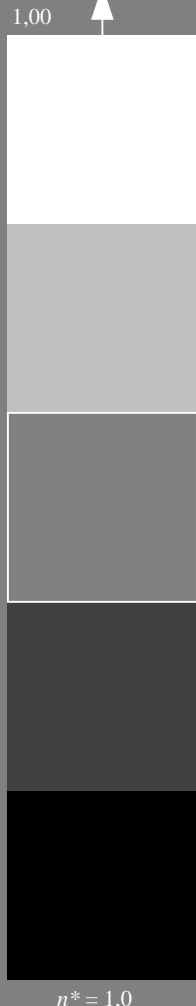
für Buntton  $h^* = lab^*h = 203/360 = 0.563$   
 $lab^*tch$  und  $lab^*nch$

D65: Buntton G50B  
 LCH\*Ma: 59 87 203  
 rgb\*Ma: 0.0 1.0 1.0

Dreiecks-Helligkeit



%Umfang  
 $u^*_{rel} = 149$



NCS11; adaptierte CIELAB-Daten

	$L^* = L^*_a$	$a^*_a$	$b^*_a$	$C^*_{ab,a}$	$h^*_{ab,a}$
RMa	47.15	84.64	37.25	92.48	24
JMa	91.37	-1.27	125.03	125.03	91
GMa	63.07	-114.28	25.35	117.06	167
G50B <sub>Ma</sub>	59.47	-80.6	-33.45	87.28	203
B <sub>Ma</sub>	49.01	3.65	-81.19	81.28	273
B50R <sub>Ma</sub>	44.06	106.09	-73.93	129.32	325
N <sub>Ma</sub>	10.99	0.0	0.0	0.0	0
W <sub>Ma</sub>	95.41	0.0	0.0	0.0	0
RCIE	39.92	58.69	27.98	65.01	25
JCIE	81.26	-2.9	71.56	71.62	92
GCIE	52.23	-42.45	13.59	44.59	162
BCIE	30.57	1.35	-46.48	46.51	272

%Regularität

$g^*_{H,rel} = 46$

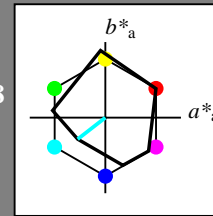
$g^*_{C,rel} = 65$

Ausgabe: Farbmetrisches Reflexions-System MRS18

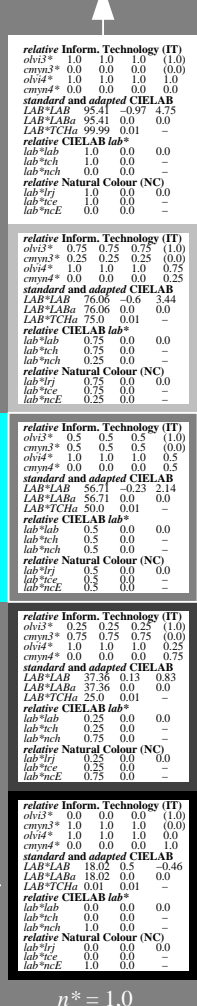
für Buntton  $h^* = lab^*h = 218/360 = 0.605$   
 $lab^*tch$  und  $lab^*nch$

D65: Buntton G50B  
 LCH\*Ma: 45 46 218  
 rgb\*Ma: 0.0 1.0 1.0

Dreiecks-Helligkeit



%Umfang  
 $u^*_{rel} = 91$



MRS18; adaptierte CIELAB-Daten

	$L^* = L^*_a$	$a^*_a$	$b^*_a$	$C^*_{ab,a}$	$h^*_{ab,a}$
RMa	49.63	66.96	38.37	77.18	30
JMa	90.7	-6.36	88.75	88.98	94
GMa	52.11	-69.73	9.44	70.37	172
G50B <sub>Ma</sub>	45.03	-36.57	-28.47	46.36	218
B <sub>Ma</sub>	36.65	23.19	-63.05	67.18	290
B50R <sub>Ma</sub>	34.94	57.17	-44.26	72.31	322
N <sub>Ma</sub>	18.01	0.0	0.0	0.0	0
W <sub>Ma</sub>	95.41	0.0	0.0	0.0	0
RCIE	39.92	58.66	26.98	64.56	25
JCIE	81.26	-2.17	67.76	67.79	92
GCIE	52.23	-42.26	11.75	43.87	164
BCIE	30.57	1.15	-46.84	46.87	271

%Regularität

$g^*_{H,rel} = 41$

$g^*_{C,rel} = 52$

TG480-7, 5stufige Reihen für konstanten CIELAB Buntton 203/360 = 0.563 (links)

5 stufige Reihen für konstanten CIELAB Buntton 218/360 = 0.605 (rechts)

BAM-Prüfvorlage TG48; Farbmetrik-Systeme NCS11a & MRS18 Input:  $olv^* setrgbcolor$

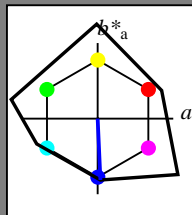
D65: 5stufige Farbreihen und Koordinaten-Daten für 10 Bunttöne Output: *no change compared to input*

Eingabe: Farbmatisches Reflexions-System NCS11

für Buntton  $h^* = lab^*h = 273/360 = 0.757$   
 $lab^*tch$  und  $lab^*nch$

D65: Buntton B  
 LCH\*Ma: 49 81 273  
 rgb\*Ma: 0.0 0.0 1.0

Dreiecks-Helligkeit



NCS11; adaptierte CIELAB-Daten

	$L^* = L^*_a$	$a^*_a$	$b^*_a$	$C^*_{ab,a}$	$h^*_{ab,a}$
RMa	47.15	84.64	37.25	92.48	24
JMa	91.37	-1.27	125.03	125.03	91
GMa	63.07	-114.28	25.35	117.06	167
G50B <sub>Ma</sub>	59.47	-80.6	-33.45	87.28	203
B <sub>Ma</sub>	49.01	3.65	-81.19	81.28	273
B50R <sub>Ma</sub>	44.06	106.09	-73.93	129.32	325
N <sub>Ma</sub>	10.99	0.0	0.0	0.0	0
W <sub>Ma</sub>	95.41	0.0	0.0	0.0	0
RCIE	39.92	58.69	27.98	65.01	25
JCIE	81.26	-2.9	71.56	71.62	92
GCIE	52.23	-42.45	13.59	44.59	162
BCIE	30.57	1.35	-46.48	46.51	272

%Regularität

$g^*_{H,rel} = 46$

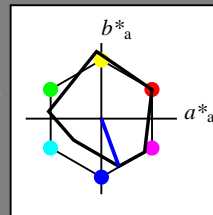
$g^*_{C,rel} = 65$

Ausgabe: Farbmatisches Reflexions-System MRS18

für Buntton  $h^* = lab^*h = 290/360 = 0.806$   
 $lab^*tch$  und  $lab^*nch$

D65: Buntton B  
 LCH\*Ma: 37 67 290  
 rgb\*Ma: 0.0 0.0 1.0

Dreiecks-Helligkeit



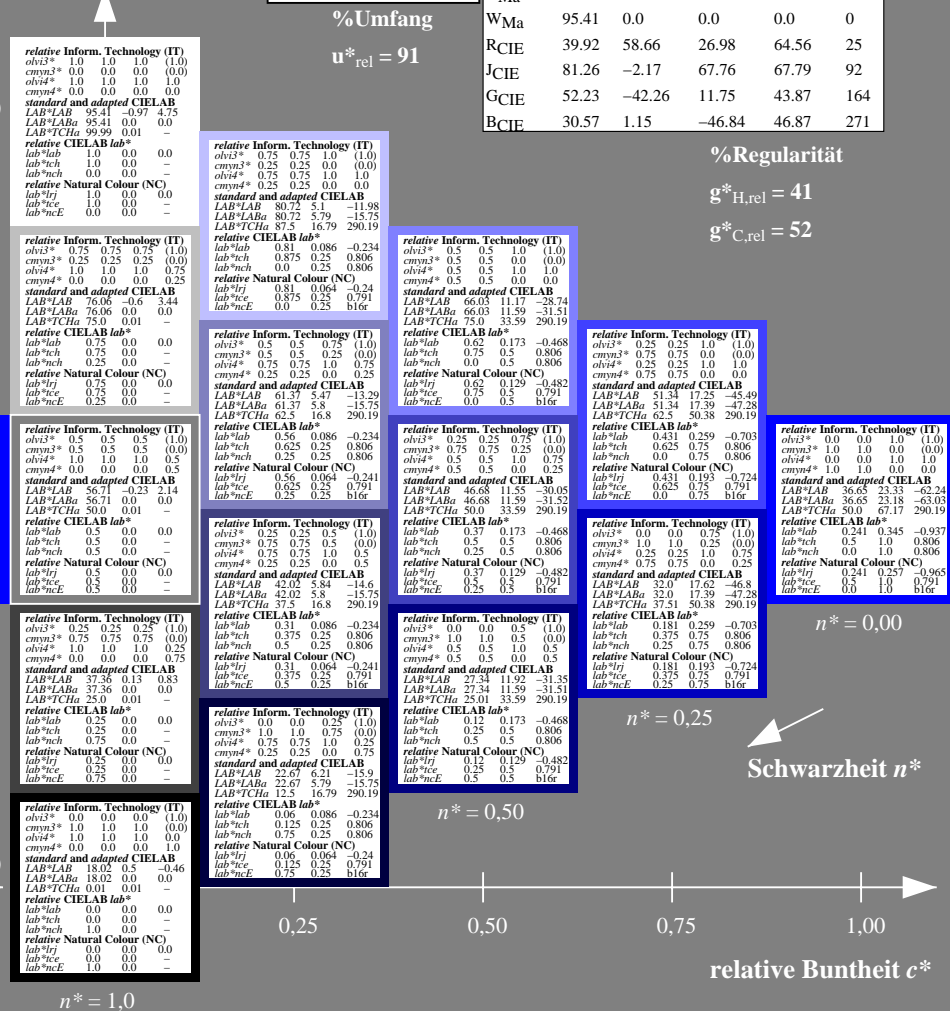
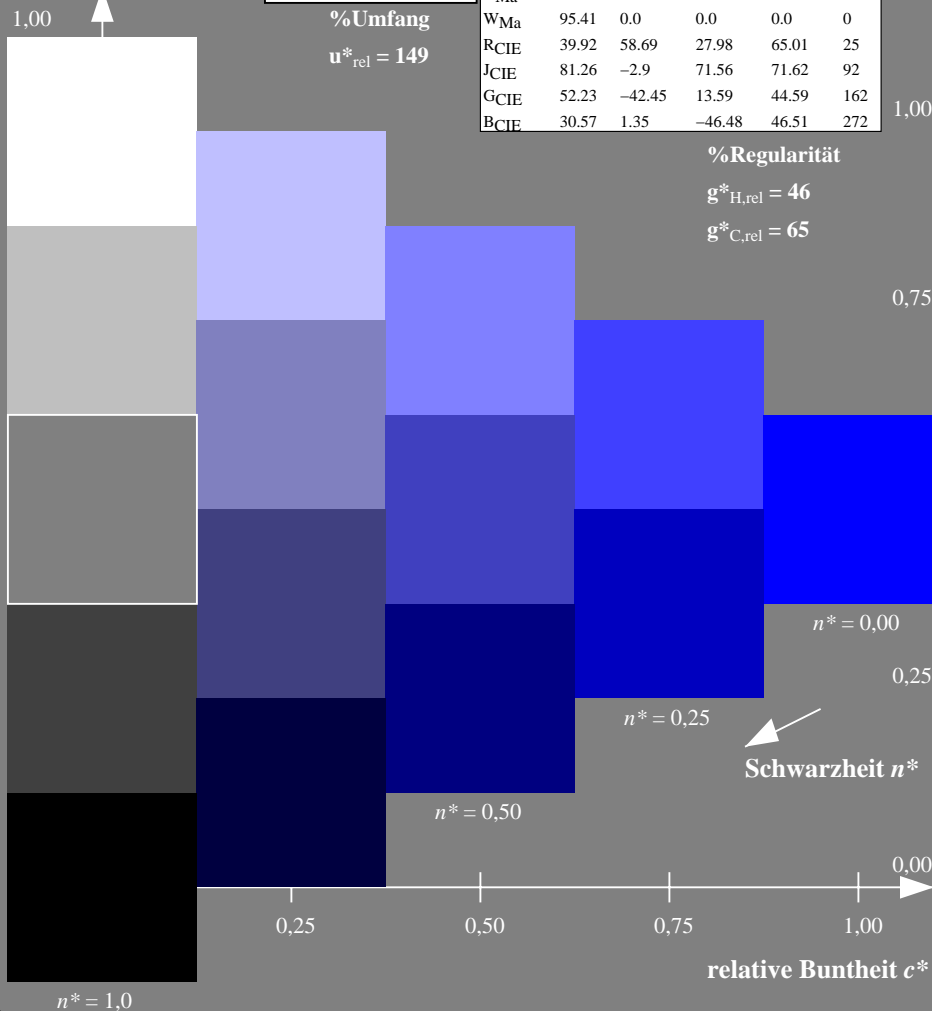
MRS18; adaptierte CIELAB-Daten

	$L^* = L^*_a$	$a^*_a$	$b^*_a$	$C^*_{ab,a}$	$h^*_{ab,a}$
RMa	49.63	66.96	38.37	77.18	30
JMa	90.7	-6.36	88.75	88.98	94
GMa	52.11	-69.73	9.44	70.37	172
G50B <sub>Ma</sub>	45.03	-36.57	-28.47	46.36	218
B <sub>Ma</sub>	36.65	23.19	-63.05	67.18	290
B50R <sub>Ma</sub>	34.94	57.17	-44.26	72.31	322
N <sub>Ma</sub>	18.01	0.0	0.0	0.0	0
W <sub>Ma</sub>	95.41	0.0	0.0	0.0	0
RCIE	39.92	58.66	26.98	64.56	25
JCIE	81.26	-2.17	67.76	67.79	92
GCIE	52.23	-42.26	11.75	43.87	164
BCIE	30.57	1.15	-46.84	46.87	271

%Regularität

$g^*_{H,rel} = 41$

$g^*_{C,rel} = 52$



TG480-7, 5 stufige Reihen für konstanten CIELAB Buntton 273/360 = 0.757 (links)

5 stufige Reihen für konstanten CIELAB Buntton 290/360 = 0.806 (rechts)

BAM-Prüfvorlage TG48; Farbmatrik-Systeme NCS11a & MRS18input: *olv\* setrgbcolor*

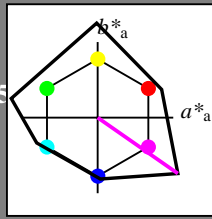
D65: 5stufige Farbreihen und Koordinaten-Daten für 10 Bunttöneoutput: *no change compared to input*

Eingabe: Farbmatisches Reflexions-System NCS11

für Buntton  $h^* = lab^*h = 325/360 = 0.903$   
 $lab^*tch$  und  $lab^*nch$

D65: Buntton B50R  
 LCH\*Ma: 44 129 325  
 rgb\*Ma: 1.0 0.0 1.0

Dreiecks-Helligkeit



**NCS11; adaptierte CIELAB-Daten**

	$L^* = L^*_a$	$a^*_a$	$b^*_a$	$C^*_{ab,a}$	$h^*_{ab,a}$
RMa	47.15	84.64	37.25	92.48	24
JMa	91.37	-1.27	125.03	125.03	91
GMa	63.07	-114.28	25.35	117.06	167
G50B <sub>Ma</sub>	59.47	-80.6	-33.45	87.28	203
B <sub>Ma</sub>	49.01	3.65	-81.19	81.28	273
B50R <sub>Ma</sub>	44.06	106.09	-73.93	129.32	325
N <sub>Ma</sub>	10.99	0.0	0.0	0.0	0
W <sub>Ma</sub>	95.41	0.0	0.0	0.0	0
RCIE	39.92	58.69	27.98	65.01	25
JCIE	81.26	-2.9	71.56	71.62	92
GCIE	52.23	-42.45	13.59	44.59	162
BCIE	30.57	1.35	-46.48	46.51	272

%Regularität

$g^*_{H,rel} = 46$

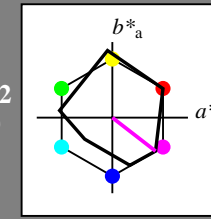
$g^*_{C,rel} = 65$

Ausgabe: Farbmatisches Reflexions-System MRS18

für Buntton  $h^* = lab^*h = 322/360 = 0.895$   
 $lab^*tch$  und  $lab^*nch$

D65: Buntton B50R  
 LCH\*Ma: 35 72 322  
 rgb\*Ma: 1.0 0.0 1.0

Dreiecks-Helligkeit



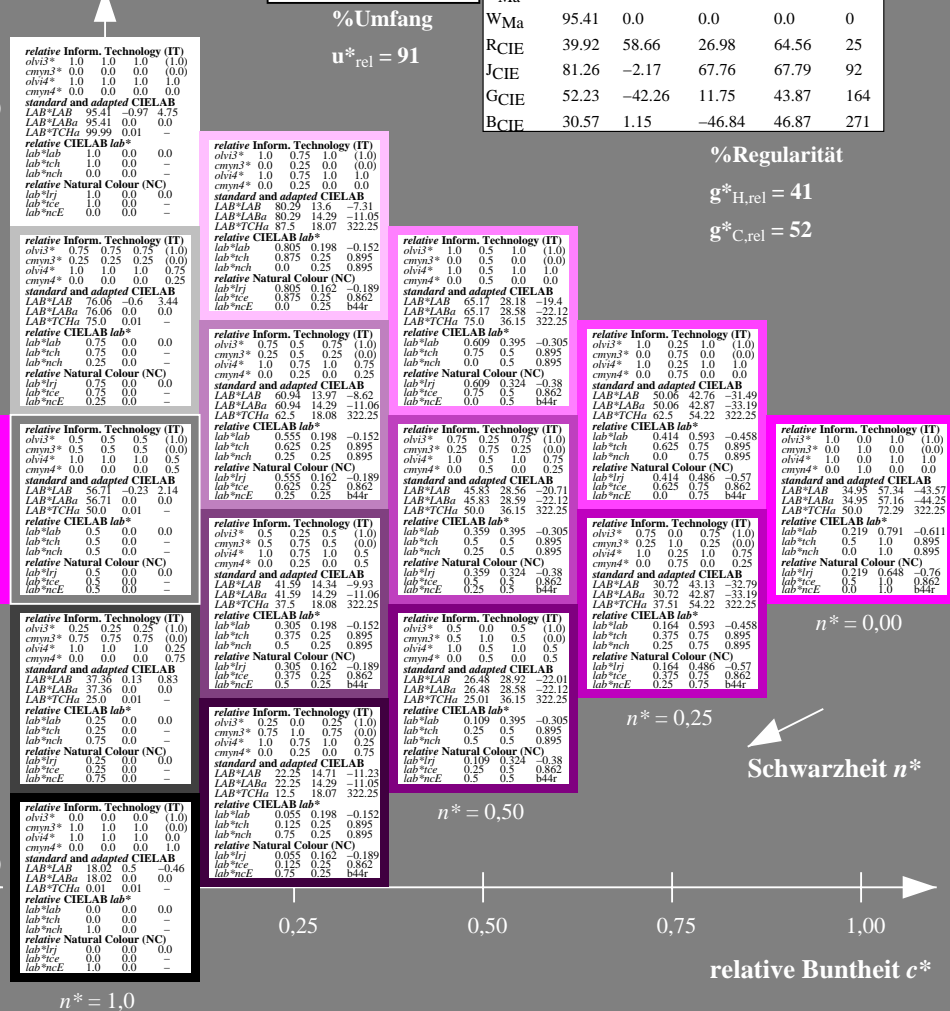
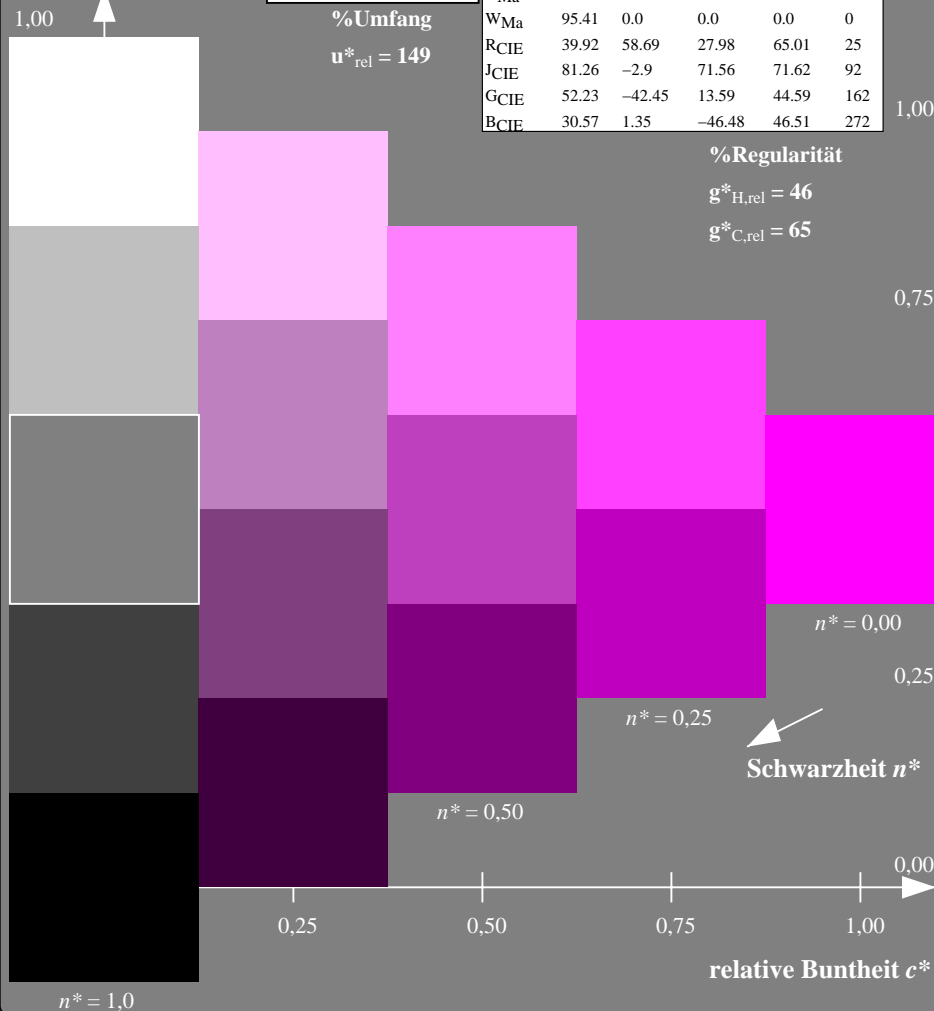
**MRS18; adaptierte CIELAB-Daten**

	$L^* = L^*_a$	$a^*_a$	$b^*_a$	$C^*_{ab,a}$	$h^*_{ab,a}$
RMa	49.63	66.96	38.37	77.18	30
JMa	90.7	-6.36	88.75	88.98	94
GMa	52.11	-69.73	9.44	70.37	172
G50B <sub>Ma</sub>	45.03	-36.57	-28.47	46.36	218
B <sub>Ma</sub>	36.65	23.19	-63.05	67.18	290
B50R <sub>Ma</sub>	34.94	57.17	-44.26	72.31	322
N <sub>Ma</sub>	18.01	0.0	0.0	0.0	0
W <sub>Ma</sub>	95.41	0.0	0.0	0.0	0
RCIE	39.92	58.66	26.98	64.56	25
JCIE	81.26	-2.17	67.76	67.79	92
GCIE	52.23	-42.26	11.75	43.87	164
BCIE	30.57	1.15	-46.84	46.87	271

%Regularität

$g^*_{H,rel} = 41$

$g^*_{C,rel} = 52$



TG480-7, 5 stufige Reihen für konstanten CIELAB Buntton 325/360 = 0.903 (links)

5 stufige Reihen für konstanten CIELAB Buntton 322/360 = 0.895 (rechts)

BAM-Prüfvorlage TG48; Farbmatrik-Systeme NCS11a & MRS18input: *olv\* setrgbcolor*

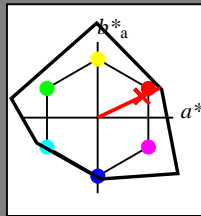
D65: 5stufige Farbreihen und Koordinaten-Daten für 10 Bunttöneoutput: *no change compared to input*

Eingabe: Farbmatisches Reflexions-System NCS11

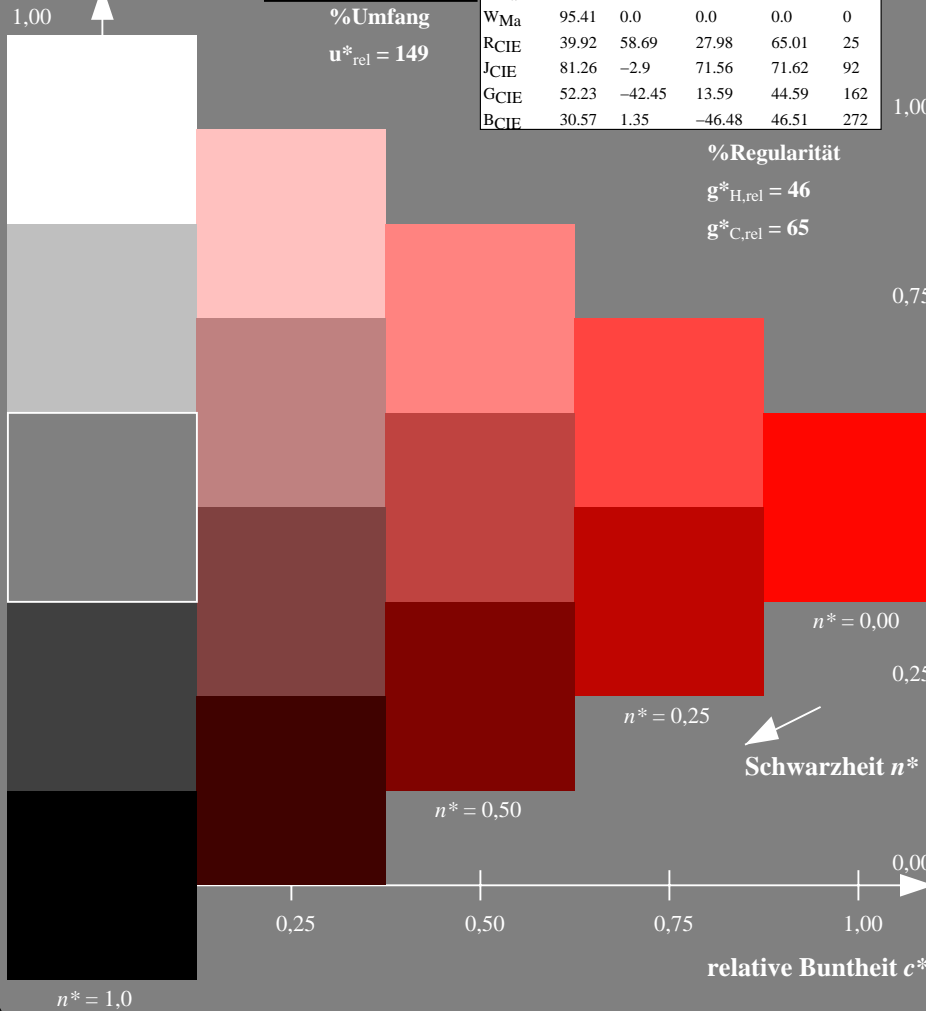
für Buntton  $h^* = lab^*h = 25/360 = 0.071$   
 $lab^*tch$  und  $lab^*nch$

D65: Buntton R  
 LCH\*Ma: 48 91 25  
 rgb\*Ma: 1.0 0.02 0.0

Dreiecks-Helligkeit



%Umfang  
 $u^*_{rel} = 149$



**NCS11; adaptierte CIELAB-Daten**

	$L^*=L^*_a$	$a^*_a$	$b^*_a$	$C^*_{ab,a}$	$h^*_{ab,a}$
RMa	47.15	84.64	37.25	92.48	24
JMa	91.37	-1.27	125.03	125.03	91
GMa	63.07	-114.28	25.35	117.06	167
G50B <sub>Ma</sub>	59.47	-80.6	-33.45	87.28	203
B <sub>Ma</sub>	49.01	3.65	-81.19	81.28	273
B50R <sub>Ma</sub>	44.06	106.09	-73.93	129.32	325
N <sub>Ma</sub>	10.99	0.0	0.0	0.0	0
W <sub>Ma</sub>	95.41	0.0	0.0	0.0	0
RCIE	39.92	58.69	27.98	65.01	25
JCIE	81.26	-2.9	71.56	71.62	92
GCIE	52.23	-42.45	13.59	44.59	162
BCIE	30.57	1.35	-46.48	46.51	272

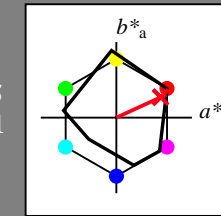
%Regularität  
 $g^*_{H,rel} = 46$   
 $g^*_{C,rel} = 65$

Ausgabe: Farbmatisches Reflexions-System MRS18

für Buntton  $h^* = lab^*h = 25/360 = 0.069$   
 $lab^*tch$  und  $lab^*nch$

D65: Buntton R  
 LCH\*Ma: 48 73 25  
 rgb\*Ma: 1.0 0.0 0.1

Dreiecks-Helligkeit

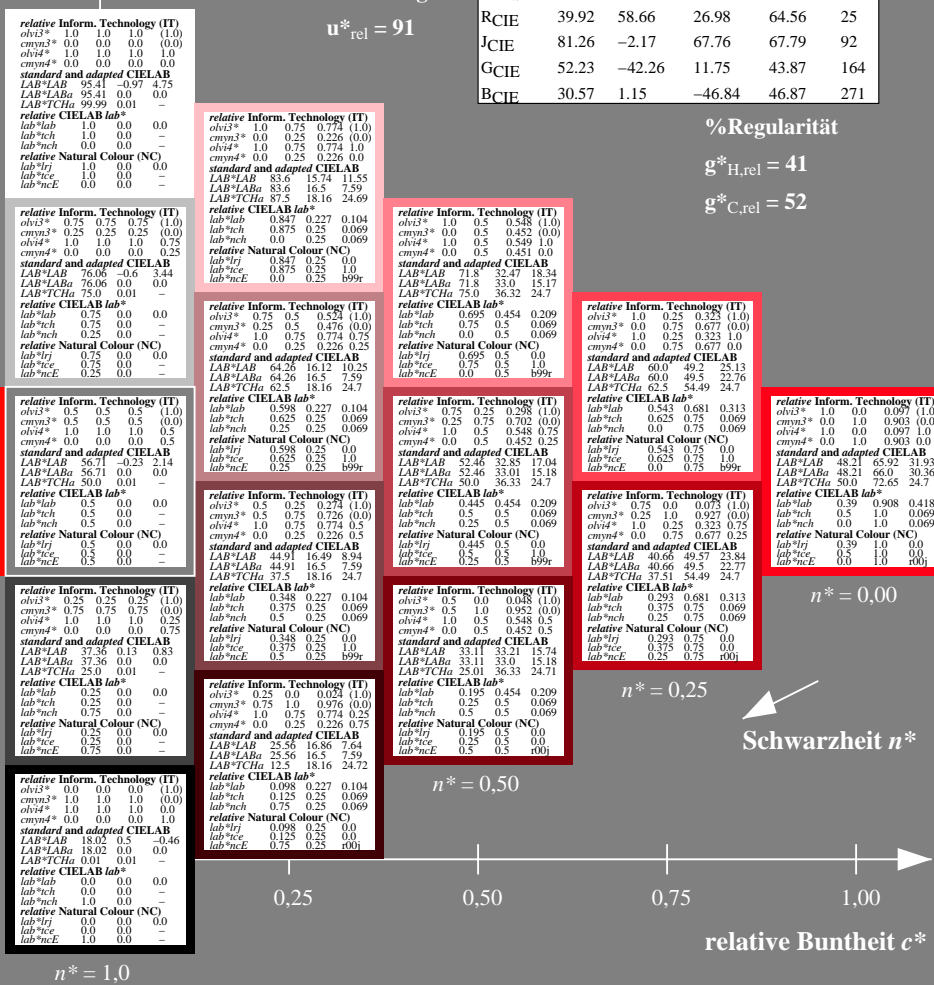


%Umfang  
 $u^*_{rel} = 91$

**MRS18; adaptierte CIELAB-Daten**

	$L^*=L^*_a$	$a^*_a$	$b^*_a$	$C^*_{ab,a}$	$h^*_{ab,a}$
RMa	49.63	66.96	38.37	77.18	30
JMa	90.7	-6.36	88.75	88.98	94
GMa	52.11	-69.73	9.44	70.37	172
G50B <sub>Ma</sub>	45.03	-36.57	-28.47	46.36	218
B <sub>Ma</sub>	36.65	23.19	-63.05	67.18	290
B50R <sub>Ma</sub>	34.94	57.17	-44.26	72.31	322
N <sub>Ma</sub>	18.01	0.0	0.0	0.0	0
W <sub>Ma</sub>	95.41	0.0	0.0	0.0	0
RCIE	39.92	58.66	26.98	64.56	25
JCIE	81.26	-2.17	67.76	67.79	92
GCIE	52.23	-42.26	11.75	43.87	164
BCIE	30.57	1.15	-46.84	46.87	271

%Regularität  
 $g^*_{H,rel} = 41$   
 $g^*_{C,rel} = 52$



TG480-7, 5 stufige Reihen für konstanten CIELAB Buntton 25/360 = 0.071 (links)

5 stufige Reihen für konstanten CIELAB Buntton 25/360 = 0.069 (rechts)

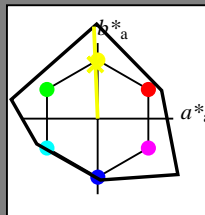
BAM-Prüfvorlage TG48; Farbmatrik-Systeme NCS11a & MRS18  
 D65: 5stufige Farbreihen und Koordinaten-Daten für 10 Bunttöne  
 output: no change compared to input

Eingabe: Farbmatisches Reflexions-System NCS11

für Buntton  $h^* = lab^*h = 92/360 = 0.256$   
 $lab^*tch$  und  $lab^*nch$

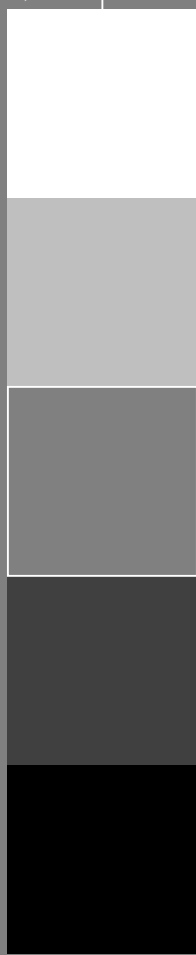
D65: Buntton J  
 LCH\*Ma: 90 122 92  
 rgb\*Ma: 0.97 1.0 0.0

Dreiecks-Helligkeit



%Umfang  
 $u^*_{rel} = 149$

1,00



$n^* = 1,0$

%Regularität  
 $g^*_{H,rel} = 46$   
 $g^*_{C,rel} = 65$

NCS11; adaptierte CIELAB-Daten

	$L^* = L^*_a$	$a^*_a$	$b^*_a$	$C^*_{ab,a}$	$h^*_{ab,a}$
RMa	47.15	84.64	37.25	92.48	24
JMa	91.37	-1.27	125.03	125.03	91
GMa	63.07	-114.28	25.35	117.06	167
G50B <sub>Ma</sub>	59.47	-80.6	-33.45	87.28	203
B <sub>Ma</sub>	49.01	3.65	-81.19	81.28	273
B50R <sub>Ma</sub>	44.06	106.09	-73.93	129.32	325
N <sub>Ma</sub>	10.99	0.0	0.0	0.0	0
W <sub>Ma</sub>	95.41	0.0	0.0	0.0	0
RCIE	39.92	58.69	27.98	65.01	25
JCIE	81.26	-2.9	71.56	71.62	92
GCIE	52.23	-42.45	13.59	44.59	162
BCIE	30.57	1.35	-46.48	46.51	272

%Regularität

$g^*_{H,rel} = 46$

$g^*_{C,rel} = 65$

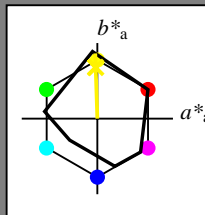
1,00

Ausgabe: Farbmatisches Reflexions-System MRS18

für Buntton  $h^* = lab^*h = 92/360 = 0.255$   
 $lab^*tch$  und  $lab^*nch$

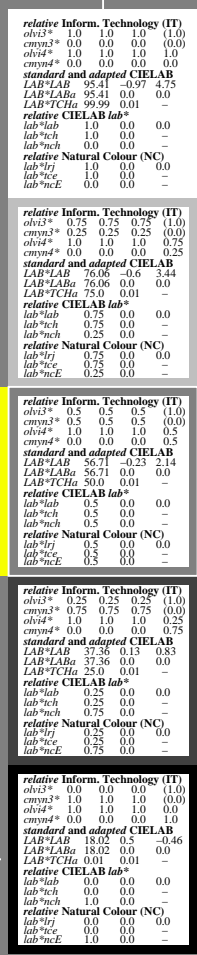
D65: Buntton J  
 LCH\*Ma: 89 86 92  
 rgb\*Ma: 1.0 0.95 0.0

Dreiecks-Helligkeit



%Umfang  
 $u^*_{rel} = 91$

1,00



$n^* = 1,0$

MRS18; adaptierte CIELAB-Daten

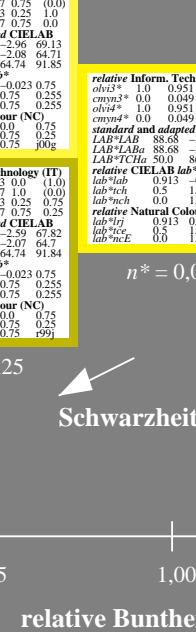
	$L^* = L^*_a$	$a^*_a$	$b^*_a$	$C^*_{ab,a}$	$h^*_{ab,a}$
RMa	49.63	66.96	38.37	77.18	30
JMa	90.7	-6.36	88.75	88.98	94
GMa	52.11	-69.73	9.44	70.37	172
G50B <sub>Ma</sub>	45.03	-36.57	-28.47	46.36	218
B <sub>Ma</sub>	36.65	23.19	-63.05	67.18	290
B50R <sub>Ma</sub>	34.94	57.17	-44.26	72.31	322
N <sub>Ma</sub>	18.01	0.0	0.0	0.0	0
W <sub>Ma</sub>	95.41	0.0	0.0	0.0	0
RCIE	39.92	58.66	26.98	64.56	25
JCIE	81.26	-2.17	67.76	67.79	92
GCIE	52.23	-42.26	11.75	43.87	164
BCIE	30.57	1.15	-46.84	46.87	271

%Regularität

$g^*_{H,rel} = 41$

$g^*_{C,rel} = 52$

1,00



$n^* = 1,0$

TG480-7, 5 stufige Reihen für konstanten CIELAB Buntton  $92/360 = 0.256$  (links)

5 stufige Reihen für konstanten CIELAB Buntton  $92/360 = 0.255$  (rechts)

BAM-Prüfvorlage TG48; Farbmatisches System NCS11a & MRS18; Input:  $olv^* setrgbcolor$

D65: 5stufige Farbreihen und Koordinaten-Daten für 10 Bunttöne; Output: *no change compared to input*

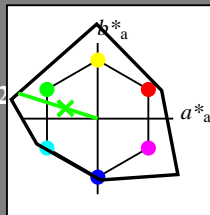


Eingabe: Farbmatisches Reflexions-System NCS11

für Buntton  $h^* = lab^*h = 162/360 = 0.451$   
 $lab^*tch$  und  $lab^*nch$

D65: Buntton G  
 LCH\*Ma: 65 110 162  
 rgb\*Ma: 0.08 1.0 0.0

Dreiecks-Helligkeit



**NCS11; adaptierte CIELAB-Daten**

	$L^* = L^*_a$	$a^*_a$	$b^*_a$	$C^*_{ab,a}$	$h^*_{ab,a}$
RMa	47.15	84.64	37.25	92.48	24
JMa	91.37	-1.27	125.03	125.03	91
GMa	63.07	-114.28	25.35	117.06	167
G50B <sub>Ma</sub>	59.47	-80.6	-33.45	87.28	203
B <sub>Ma</sub>	49.01	3.65	-81.19	81.28	273
B50R <sub>Ma</sub>	44.06	106.09	-73.93	129.32	325
N <sub>Ma</sub>	10.99	0.0	0.0	0.0	0
W <sub>Ma</sub>	95.41	0.0	0.0	0.0	0
RCIE	39.92	58.69	27.98	65.01	25
JCIE	81.26	-2.9	71.56	71.62	92
GCIE	52.23	-42.45	13.59	44.59	162
BCIE	30.57	1.35	-46.48	46.51	272

%Regularität

$g^*_{H,rel} = 46$

$g^*_{C,rel} = 65$

1.00

0.75

0.25

0.00

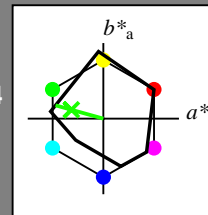
$n^* = 1.0$

Ausgabe: Farbmatisches Reflexions-System MRS18

für Buntton  $h^* = lab^*h = 164/360 = 0.457$   
 $lab^*tch$  und  $lab^*nch$

D65: Buntton G  
 LCH\*Ma: 56 66 164  
 rgb\*Ma: 0.1 1.0 0.0

Dreiecks-Helligkeit



**MRS18; adaptierte CIELAB-Daten**

	$L^* = L^*_a$	$a^*_a$	$b^*_a$	$C^*_{ab,a}$	$h^*_{ab,a}$
RMa	49.63	66.96	38.37	77.18	30
JMa	90.7	-6.36	88.75	88.98	94
GMa	52.11	-69.73	9.44	70.37	172
G50B <sub>Ma</sub>	45.03	-36.57	-28.47	46.36	218
B <sub>Ma</sub>	36.65	23.19	-63.05	67.18	290
B50R <sub>Ma</sub>	34.94	57.17	-44.26	72.31	322
N <sub>Ma</sub>	18.01	0.0	0.0	0.0	0
W <sub>Ma</sub>	95.41	0.0	0.0	0.0	0
RCIE	39.92	58.66	26.98	64.56	25
JCIE	81.26	-2.17	67.76	67.79	92
GCIE	52.23	-42.26	11.75	43.87	164
BCIE	30.57	1.15	-46.84	46.87	271

%Regularität

$g^*_{H,rel} = 41$

$g^*_{C,rel} = 52$

%Umfang

$u^*_{rel} = 91$

1.00

0.75

0.50

$n^* = 0.50$

1.00

0.75

0.50

0.25

$n^* = 1.0$

%Umfang

$u^*_{rel} = 149$

0.75

0.50

0.25

$n^* = 0.50$

Schwarzheit  $n^*$

relative Buntheit  $c^*$

Schwarzheit  $n^*$

relative Buntheit  $c^*$

TG480-7, 5 stufige Reihen für konstanten CIELAB Buntton 162/360 = 0.451 (links)

5 stufige Reihen für konstanten CIELAB Buntton 164/360 = 0.457 (rechts)

BAM-Prüfvorlage TG48; Farbmatisches System NCS11a & MRS18; Input:  $olv^* setrgbcolor$

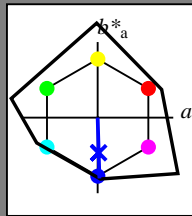
D65: 5stufige Farbreihen und Koordinaten-Daten für 10 Bunttöne; Output: no change compared to input

Eingabe: Farbmatisches Reflexions-System NCS11

für Buntton  $h^* = lab^*h = 272/360 = 0.755$   
 $lab^*tch$  und  $lab^*nch$

D65: Buntton B  
 LCH\*Ma: 49 80 272  
 rgb\*Ma: 0.0 0.02 1.0

Dreiecks-Helligkeit



**NCS11; adaptierte CIELAB-Daten**

	$L^* = L^*_a$	$a^*_a$	$b^*_a$	$C^*_{ab,a}$	$h^*_{ab,a}$
RMa	47.15	84.64	37.25	92.48	24
JMa	91.37	-1.27	125.03	125.03	91
GMa	63.07	-114.28	25.35	117.06	167
G50B <sub>Ma</sub>	59.47	-80.6	-33.45	87.28	203
B <sub>Ma</sub>	49.01	3.65	-81.19	81.28	273
B50R <sub>Ma</sub>	44.06	106.09	-73.93	129.32	325
N <sub>Ma</sub>	10.99	0.0	0.0	0.0	0
W <sub>Ma</sub>	95.41	0.0	0.0	0.0	0
RCIE	39.92	58.69	27.98	65.01	25
JCIE	81.26	-2.9	71.56	71.62	92
GCIE	52.23	-42.45	13.59	44.59	162
BCIE	30.57	1.35	-46.48	46.51	272

%Regularität

$g^*_{H,rel} = 46$

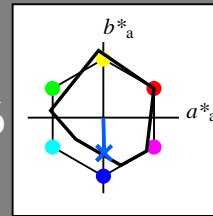
$g^*_{C,rel} = 65$

Ausgabe: Farbmatisches Reflexions-System MRS18

für Buntton  $h^* = lab^*h = 271/360 = 0.754$   
 $lab^*tch$  und  $lab^*nch$

D65: Buntton B  
 LCH\*Ma: 40 50 271  
 rgb\*Ma: 0.0 0.37 1.0

Dreiecks-Helligkeit



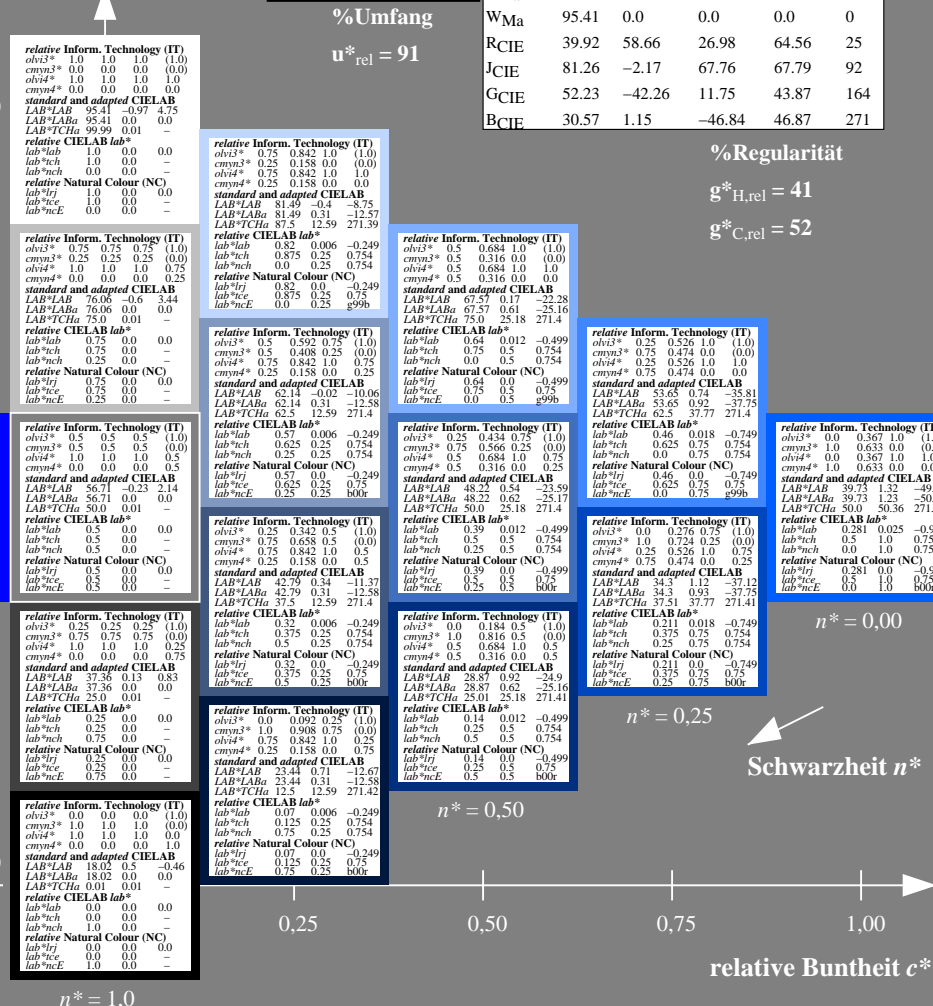
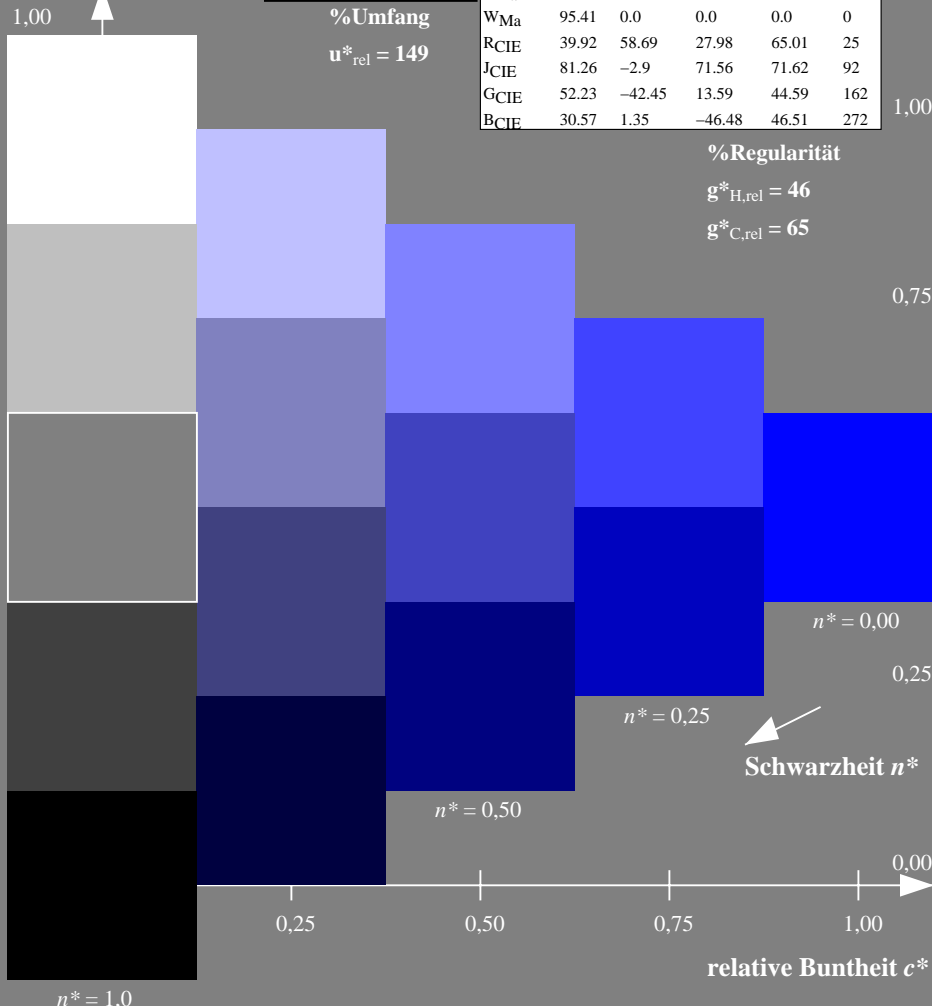
**MRS18; adaptierte CIELAB-Daten**

	$L^* = L^*_a$	$a^*_a$	$b^*_a$	$C^*_{ab,a}$	$h^*_{ab,a}$
RMa	49.63	66.96	38.37	77.18	30
JMa	90.7	-6.36	88.75	88.98	94
GMa	52.11	-69.73	9.44	70.37	172
G50B <sub>Ma</sub>	45.03	-36.57	-28.47	46.36	218
B <sub>Ma</sub>	36.65	23.19	-63.05	67.18	290
B50R <sub>Ma</sub>	34.94	57.17	-44.26	72.31	322
N <sub>Ma</sub>	18.01	0.0	0.0	0.0	0
W <sub>Ma</sub>	95.41	0.0	0.0	0.0	0
RCIE	39.92	58.66	26.98	64.56	25
JCIE	81.26	-2.17	67.76	67.79	92
GCIE	52.23	-42.26	11.75	43.87	164
BCIE	30.57	1.15	-46.84	46.87	271

%Regularität

$g^*_{H,rel} = 41$

$g^*_{C,rel} = 52$



TG480-7, 5 stufige Reihen für konstanten CIELAB Buntton 272/360 = 0.755 (links)

5 stufige Reihen für konstanten CIELAB Buntton 271/360 = 0.754 (rechts)

BAM-Prüfvorlage TG48; Farbmatrik-Systeme NCS11a & MRS18; Input:  $olv^* setrgbcolor$

D65: 5stufige Farbreihen und Koordinaten-Daten für 10 Bunttöne; Output: no change compared to input

Siehe ähnliche Dateien: <http://www.ps.bam.de/TG48/>  
 Technische Information: <http://www.ps.bam.de/Version 2.1, io=1,1>

BAM-Registrierung: 20060101-TG48/10Q/Q48G09NP.PS/.PDF BAM-Material: Code=rh4t4  
 Anwendung für Beurteilung und Messung von Drucker- oder Monitorsystemen  
 /TG48 Form 10/10/Seite 1/1, Seite: 10  
 Scherzhang 10